

**ИНЖЕКЦИОННЫЕ ТОКИ
И ТЕРМОПОЛЕВОЙ ЭФФЕКТ ПУЛА—ФРЕНКЕЛЯ
В МОНОКРИСТАЛЛАХ ТВЕРДЫХ РАСТВОРОВ**
 $(\text{Ga}_2\text{S}_3)_{1-x}(\text{Eu}_2\text{O}_3)_x$

Тагиев Б. Г., Тагиев О. Б., Касимова Г. А.

Впервые проведены подробные исследования влияния сильного электрического поля на электропроводность образцов монокристаллов $(\text{Ga}_2\text{S}_3)_{1-x}(\text{Eu}_2\text{O}_3)_x$ ($0.01 \leq x \leq 0.07$), обладающих эффективной электро-, фото-, катодолюминесценцией в интервале температур $77 \div 400$ К. Измерения проводились на образцах с индиевыми омическими контактами в сэндвич-исполнении. На основе анализа результатов измерений вольт-амперных характеристик сэндвич-структур установлено: 1) в области электрических полей от 2 до $3.3 \cdot 10^2$ В/см имеет место закон Ома; 2) в электрическом поле $3.3 \cdot 10^2 \div 3.0 \cdot 10^3$ В/см имеет место инжекционное явление; 3) в области электрических полей $3 \cdot 10^3 \div 5 \cdot 10^4$ В/см изменение электропроводности подчиняется закону Пула—Френкеля; 4) в полях выше $4 \cdot 10^4$ В/см имеет место облегченное температурой туннелирование носителей тока через потенциальный барьер, уменьшенный на величину $e^3F/\pi e\epsilon_0$.

Введение. Соединение Ga_2S_3 из группы $\text{A}_{\text{II}}^{\text{III}}\text{B}_{\text{VI}}^{\text{VI}}$ (где $\text{A}^{\text{III}} = \text{Ga}, \text{In}, \text{Al}; \text{B}^{\text{VI}} = \text{S}, \text{Se}, \text{Te}$) характеризуется низким значением подвижности носителей тока, электропроводности и малой теплопроводностью, что связано с наличием стехиометрических дефектов (катионными вакансиями) концентрацией около 10^{21} см $^{-3}$.

Собственная дефектность, возможные большие отклонения от стехиометрии, содержание значительной концентрации посторонних примесей и другие структурные нарушения приводят к образованию «хвостов» плотностей состояний вблизи валентной зоны и нижнего края зоны проводимости кристаллов типа Ga_2S_3 [1]. Эти особенности кристаллов типа Ga_2S_3 заметно проявляются на их электрических, фотоэлектрических и оптических свойствах. Эти кристаллы обладают значительной фоточувствительностью и люминесценцией, возбуждаемой внешними факторами (электрическим полем, электронными пучками, рентгеновским и ультрафиолетовым излучением и др.).

Твердые растворы Ga_2S_3 в системе $\text{Ga}_2\text{S}_3\text{—Eu}_2\text{O}_3$ проявляют ярко выраженную фото-, электро- и рентгенолюминесценцию [2]. Установлено, что люминесценция, возникающая под воздействием внешних факторов, обусловлена внутрицентровыми переходами ионов Eu^{2+} при переходах зона—зона и при участии локальных уровней.

В настоящей работе изложены результаты исследования вольт-амперных характеристик (ВАХ) образцов монокристаллов твердых растворов в системе $\text{Ga}_2\text{S}_3\text{—Eu}_2\text{O}_3$ в широком интервале температур ($77 \div 400$ К) и электрических полей ($1 \div 10^5$ В/см).

Результаты измерений и их обсуждение

Монокристаллы твердых растворов $(\text{Ga}_2\text{S}_3)_{1-x}(\text{Eu}_2\text{O}_3)_x$ ($0.01 \leq x \leq 0.07$) получены методом газотранспортной реакции [2] (переносчиком является иод). Омические контакты к монокристаллическим образцам толщиной $70 \div 150$ мкм создавались выплавлением индия. Были исследованы ВАХ образцов трех со-

стиков — $(\text{Ga}_2\text{S}_3)_{0.99}(\text{Eu}_2\text{O}_3)_{0.01}$, $(\text{Ga}_2\text{S}_3)_{0.96}(\text{Eu}_2\text{O}_3)_{0.04}$ и $(\text{Ga}_2\text{S}_3)_{0.95}(\text{Eu}_2\text{O}_3)_{0.05}$. Из каждого состава изготавливали четыре образца в сэндвич-исполнении.

Характерные для всех исследуемых образцов ВАХ в двойном логарифмическом масштабе представлены на рис. 1. Видно, что по мере уменьшения температуры ВАХ смещается в сторону высоких электрических полей. Во всем диапазоне температур обнаружено, что при изменении электрического поля от 2 до $5 \cdot 10^4$ В/см ток, проходящий через образец, изменяется на несколько порядков. Например, в указанном интервале электрических полей ток через образец монокристалла $(\text{Ga}_2\text{S}_3)_{0.96}(\text{Eu}_2\text{O}_3)_{0.04}$ изменяется от $4 \cdot 10^{-9}$ до $2 \cdot 10^{-3}$ и $3 \cdot 10^{-11}$ до $1.6 \cdot 10^{-3}$ А при 145 и 270 К соответственно.

Полученные результаты проанализированы на основе теорий инжекционно-контактных явлений [3–5], токов, ограниченных пространственным зарядом (ТОПЗ) [6–8], термополевого эффекта Пула—Френкеля (ЭПФ) [10–12].

В [3–5] разработан метод дифференциального анализа экспериментальной

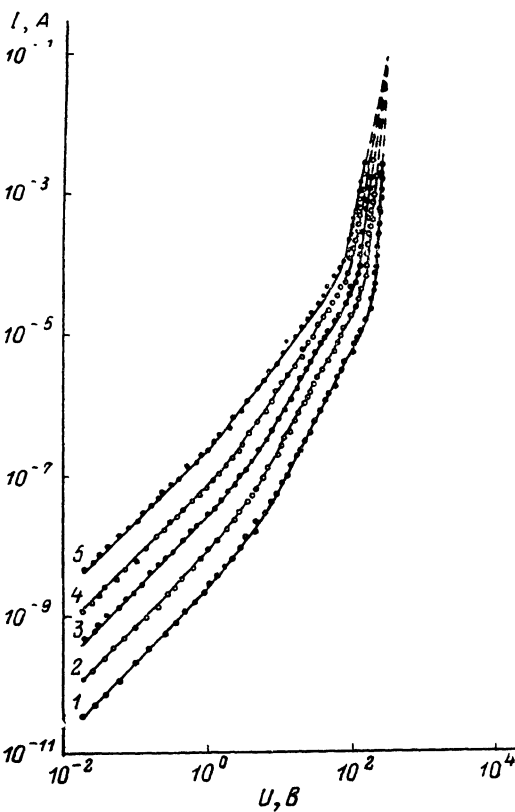


Рис. 1. Вольт-амперные характеристики монокристалла $(\text{Ga}_2\text{S}_3)_{0.96}(\text{Eu}_2\text{O}_3)_{0.04}$ толщиной $L=90$ мкм при разных температурах.

T, K : 1 — 145, 2 — 160, 3 — 180, 4 — 215, 5 — 270.

ВАХ и получены выражения, позволяющие определить важнейшие параметры полупроводника и контактов к нему, таких как глубина и концентрация локальных уровней, время жизни неосновных носителей тока, дискриминировать ТОПЗ от альтернативных процессов, приводящих к резкому скачку тока. Сущность этого метода заключается в том, что для длинных бездиффузионных структур по экстремумам степени ВАХ ($I \sim U^\alpha$, $\alpha = \frac{U}{I} \frac{dI}{dU}$) определяются физические параметры структур как без задания модели локальных уровней, так и в рамках достаточно общих моделей [3–5].

На рис. 2 представлена зависимость α от U для $(\text{Ga}_2\text{S}_3)_{0.96}(\text{Eu}_2\text{O}_3)_{0.04}$ при 160 К, откуда видно, что экстремальные значения $\alpha_e = 2.6$ и 6.3 достигаются при напряжениях $U = 10$ и 160 В соответственно. Экстремальным значениям α_e соответствуют токи $I_e = 2 \cdot 10^{-7}$ и $5 \cdot 10^{-5}$ А. Анализ зависимости α показал, что до величины электрического поля $F = 3.3 \cdot 10^2$ В/см при 160 К в монокристаллах $(\text{Ga}_2\text{S}_3)_{0.96}(\text{Eu}_2\text{O}_3)_{0.04}$ наблюдается закон Ома (этот участок на рис. 2 не показан).

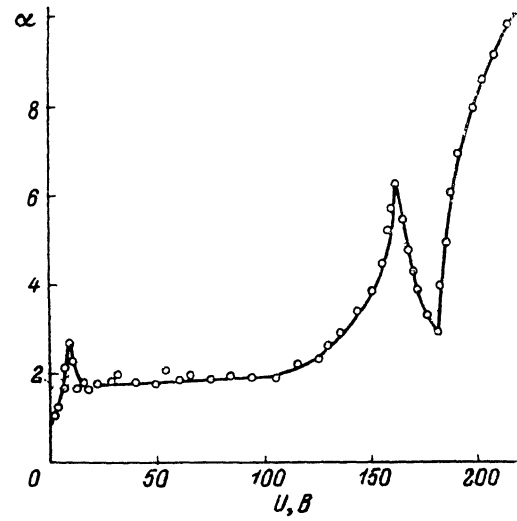


Рис. 2. Зависимость коэффициента нелинейности ВАХ α от напряжения U при 160 К для образца $(\text{Ga}_2\text{S}_3)_{0.96}(\text{Eu}_2\text{O}_3)_{0.04}$.

Зная для каждого экстремума величины U_e , I_e и α_e , можно определить параметры структур металл—полупроводник (диэлектрик)—металл по следующим формулам [13]:

$$\sigma_e = \frac{L}{S} \frac{\alpha_e}{2\alpha_e - 1} \frac{I_e}{U_e},$$

$$\tau_{ne} = \frac{L^2}{\mu_n} \frac{\alpha_e^2}{(2\alpha_e - 1)(\alpha_e - 1)} \frac{1}{U_e}. \quad (1)$$

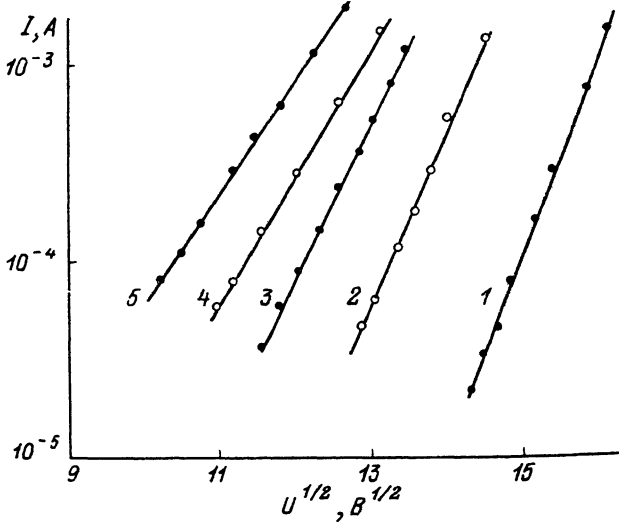
В (1) σ_e — электропроводность полупроводника и τ_{ne} — время жизни электронов в момент достижения экстремума α_e . Для этого случая коэффициент дискриминации Q_e можно рассчитать по формуле

$$Q_e = \frac{\epsilon \mu_n S}{4\pi L^3} \frac{(2\alpha_e - 1)^2 (\alpha_e - 1)}{\alpha_e^3} \frac{U_e^2}{I_e}. \quad (2)$$

При оценке параметров, входящих в формулы (1), (2), принято, что $\mu_n = 10 \text{ см}^2/\text{В}\cdot\text{с}$ и $\epsilon = 10$ для монокристаллов $(\text{Ga}_2\text{S}_3)_{0.96}(\text{Eu}_2\text{O}_3)_{0.04}$. Подставляя экспериментальные значения α_e , I_e , U_e в (1) с учетом размеров образцов (площадь контакта $S = 6 \cdot 10^{-3} \text{ см}^2$, толщина образца $L = 9 \cdot 10^{-3} \text{ см}$), определили концентрацию электронов $n_{0e} = 1.2 \cdot 10^{10} \text{ см}^{-3}$, время жизни электронов $\tau_{n_{0e}} = 8 \cdot 10^{-7} \text{ с}$ и квазиуровень Ферми $F_{f_{0e}} = 0.30 \text{ эВ}$ для монокристалла $(\text{Ga}_2\text{S}_3)_{0.96}(\text{Eu}_2\text{O}_3)_{0.04}$.

Рис. 3. Зависимость $\lg I$ от \sqrt{U} для образца толщиной $L = 90 \text{ мкм}$ $(\text{Ga}_2\text{S}_3)_{0.96}(\text{Eu}_2\text{O}_3)_{0.04}$ при разных температурах.

$T, \text{ К: } 1 - 145, 2 - 160, 3 - 180, 4 - 215, 5 - 270.$



Расчет по формуле (2) показывает, что в монокристаллах твердых растворов $(\text{Ga}_2\text{S}_3)_{0.96}(\text{Eu}_2\text{O}_3)_{0.04}$ в интервале электрических полей $10^3 \div 2 \cdot 10^4 \text{ В/см}$ при экстремальных значениях α_e коэффициент дискриминации $Q_e \gg 1$. Это указывает на процессы ионизации локальных уровней в электрическом поле $10^3 \div 10^5 \text{ В/см}$. Поэтому с целью выяснения механизма полевой ионизации в исследуемых образцах ВАХ, представленные на рис. 1, были проанализированы для различных случаев, в том числе в соответствии с теорией ЭПФ [9]:

$$I(F) = I(0) e^{\beta \sqrt{F}}, \quad (3)$$

где $I(0)$ — ток при $F=0$ или в области электрических полей, в которых выполняется закон Ома, β — коэффициент Френкеля. Этот коэффициент зависит от природы материала полупроводника и температуры:

$$\beta = \frac{\sqrt{e^3}}{kT \sqrt{n} \epsilon \epsilon_0}, \quad (4)$$

здесь e — заряд электрона, k — постоянная Больцмана, ϵ_0 — электрическая постоянная, ϵ — диэлектрическая проницаемость полупроводника, относящаяся к электронной части поляризации, т. е. $\epsilon = n^3$ (n — коэффициент преломления света).

На рис. 3 в координатах $\lg I - \sqrt{U}$ представлены ВАХ при разных температурах. Как видно из рисунка, между $\lg I$ и \sqrt{U} существует линейная зависимость.

симость, наклон которой с уменьшением температуры растет. Для наклона прямой $\lg I = f \sqrt{U}$, т. е. для β в соответствии с формулой (4), выполняется закономерность $\beta \sim 1/T$, другими словами, экстраполяция прямой $\beta = f(1/T)$ проходит через начало координат (рис. 4). По экспериментальной величине β оценена $\epsilon = 7 \div 10$ в зависимости от состава $(\text{Ga}_2\text{S}_3)_{1-x}(\text{Eu}_2\text{O}_3)_x$. Эти результаты хорошо согласуются с проведенными нами оптическими исследованиями. Анализ полученных данных показывает, что в монокристаллах $(\text{Ga}_2\text{S}_3)_{1-x}(\text{Eu}_2\text{O}_3)_x$ в интервале электрических полей $3 \cdot 10^3 \div 5 \cdot 10^4$ В/см имеет место термополевой ЭПФ. В электрических полях порядка 10^5 В/см наблюдалось отклонение от термополевого ЭПФ и более крутого роста тока.

Для всех составов твердых растворов $(\text{Ga}_2\text{S}_3)_{1-x}(\text{Eu}_2\text{O}_3)_x$ в областях электрических полей, в которых выполняется закон Ома, наблюдаются ТОПЗ и ЭПФ, исследована температурная зависимость тока (электропроводности). Характерные для остальных составов данные при разных электрических полях представлены на рис. 5 для монокристаллов $(\text{Ga}_2\text{S}_3)_{0.99} \cdot (\text{Eu}_2\text{O}_3)_{0.01}$. На зависимости в координатах $\lg I - (10^3/T)$ выделяются три участка — высокотемпературный

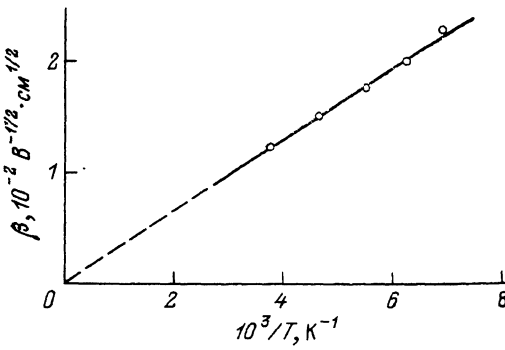


Рис. 4. Температурная зависимость коэффициента Френкеля β для образца $(\text{Ga}_2\text{S}_3)_{0.96}(\text{Eu}_2\text{O}_3)_{0.04}$.

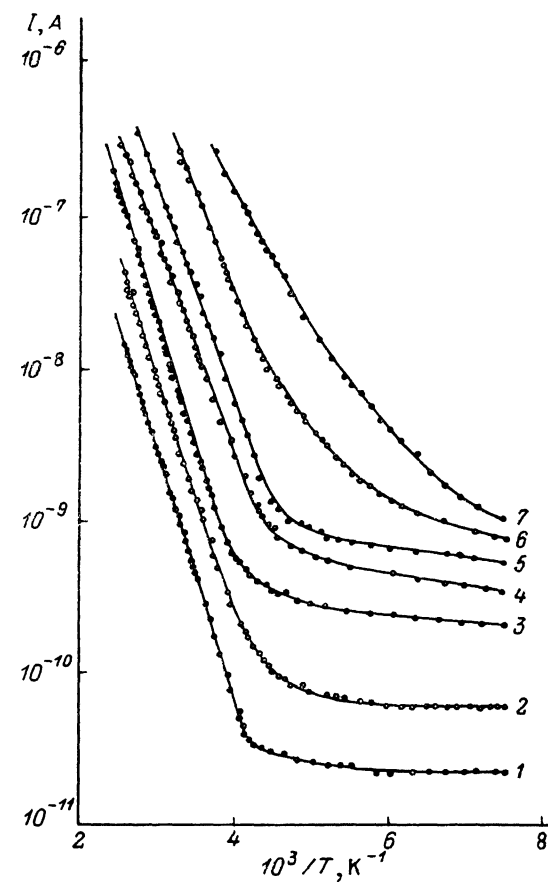


Рис. 5. Температурная зависимость тока для образца толщиной $L=110$ мкм $(\text{Ga}_2\text{S}_3)_{0.99} \cdot (\text{Eu}_2\text{O}_3)_{0.01}$ при разных напряжениях U , В: 1 — 10, 2 — 20, 3 — 60, 4 — 90, 5 — 120, 6 — 200, 7 — 300.

(250 \div 400 К), промежуточный (160 \div 250 К) и низкотемпературный (77 \div 160 К). Наклон высокотемпературного участка зависимости $\lg I = f(10^3/T)$ с ростом электрического поля уменьшается. Определенная из этого участка энергия активации ловушек E_t в зависимости от электрического поля представлена на рис. 6. Видно, что с ростом температуры энергия активации в координатах $E_t = f(\sqrt{F})$ линейно уменьшается. Сущность ЭПФ заключается в уменьшении энергии активации ловушек по формуле

$$E_t(F) = E_t(0) - \sqrt{\frac{e^3 F}{\pi \epsilon \epsilon_0}}. \quad (5)$$

Экстраполяцией прямой $E_t = f(\sqrt{F})$ в сторону $F=0$ определена $E_t(0) = 0.2 \div 0.6$ эВ в зависимости от состава твердых растворов.

Промежуточный участок зависимости $\lg I (10^3/T)$ характеризуется непре-

рывным уменьшением наклона прямой $\lg I = f(10^3/T)$. Этот участок по мере роста электрического поля расширяется (рис. 6, кривые 6 и 7).

На низкотемпературном участке зависимости $\lg I (10^3/T)$ наблюдается слабый термоактивационный процесс и ток (электропроводность) с ростом электрического поля растет. Одним из возможных механизмов слабой зависимости тока от температуры при различных электрических полях является облегченное температурой туннелирование электронов через барьер, уменьшенный на величину $\sqrt{e^3 F / \pi \epsilon \epsilon_0}$. В этом случае, как показано в [10, 11], зависимость плотности тока от температуры и электрического поля выражается закономерностью

$$I \sim \exp - \left\{ \frac{E_0}{kT} + \frac{A}{\sqrt{2e} F} [E_t(0) - E_0] \right\}, \quad (6)$$

где $E_0 < E_t(0) - \sqrt{e^3 F / \pi \epsilon \epsilon_0}$, A — постоянная.

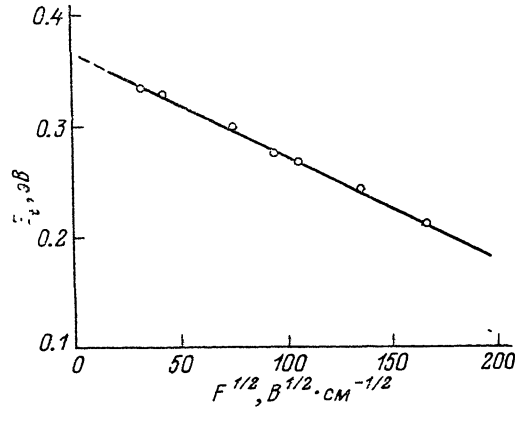


Рис. 6. Зависимость энергии активации ловушек E_t от электрического поля F для образца толщиной $L=110$ мкм $(\text{Ga}_2\text{S}_3)_{0.99}(\text{Eu}_2\text{O}_3)_{0.01}$.

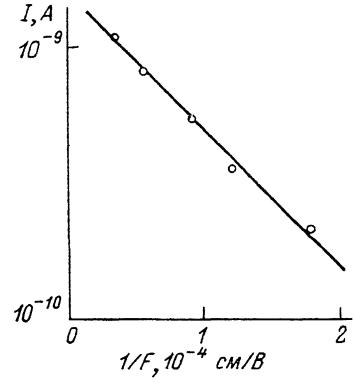


Рис. 7. Зависимость $\lg I$ от $1/F$ для образца толщиной $L=110$ мкм $(\text{Ga}_2\text{S}_3)_{0.99}(\text{Eu}_2\text{O}_3)_{0.01}$.

Из (6) видно, что между $\lg I$ и $1/F$ существует линейная зависимость, которая наблюдается в эксперименте (рис. 7). Формула (6) подобна формуле Фаулера—Нордгейма с той разницей, что множитель F^2 перед экспонентой отсутствует. Низкотемпературный участок также характерен для прыжковой проводимости в области сильных электрических полей и полевой ионизации примесных уровней, приводящей к туннелированию без участия температуры (этот вопрос будет анализирован и представлен в отдельной статье).

В [10] отмечается, что ЭПФ имеет место тогда, когда минимальное расстояние между ловушками кулоновских центров равно $2r_m$, где $r_m = \sqrt{e/\pi \epsilon \epsilon_0 F_{kp}}$ — расстояние от ловушки до максимума потенциального барьера. Это условие соответствует концентрации ловушек

$$N_t \approx \frac{1}{(2r_m)^3} = (\pi \epsilon \epsilon_0 F_{kp} e^{-1})^{3/2}. \quad (7)$$

В выражениях для r_m и N_t F_{kp} — минимальная величина электрического поля, при котором наблюдается ЭПФ. Для оценки по формуле (7) необходимо знать ϵ . Однако, определяя коэффициент Френкеля β при разных температурах, можно видоизменить выражение для N_t и получить следующую формулу:

$$N_t = \left(\frac{2e}{kT\beta} F_{kp}^2 \right)^{3/2}. \quad (8)$$

В [14] найдена связь между критическим радиусом центра захвата и уменьшением высоты потенциального барьера [см. формулу (5)]. Принимая во вни-

мание линейную зависимость между E_t (F) и F, согласно формуле (5), получили выражение для N_t в следующем виде:

$$N_t = \frac{e^3 F_{kp}^{3/2} (F_2^{1/2} - F_1^{1/2})^3}{(E'_t - E''_t)}, \quad (9)$$

где F_1 и F_2 — электрические поля, при которых энергии активации ловушек равны E'_t и E''_t соответственно. Из расчета по формулам (7)–(9) для концентрации ловушек получены величины $N_t = 6 \cdot 10^{13} \div 4 \cdot 10^{14} \text{ см}^{-3}$ в зависимости от состава твердых растворов $(\text{Ga}_2\text{S}_3)_{1-x}(\text{Eu}_2\text{O}_3)_x$. Эти результаты хорошо совпадают с расчетами по теории инжекционно-контактных явлений [3–5] и ТОПЗ [6–8].

Мы выше отметили, что сущность ЭПФ заключается в уменьшении энергии активации ловушек E_t на величину $\sqrt{e^3 F / \pi \epsilon \epsilon_0}$. Однако этого условия недостаточно, чтобы электрон покинул кулоновский центр. Как отмечено в [12, 15], необходимо, чтобы электрон сохранил энергию, которая больше, чем $E_t - \sqrt{e^3 F / \pi \epsilon \epsilon_0}$, когда он минует максимум потенциальной энергии в электрическом поле и после соударения с тепловыми колебаниями сохраняет свою энергию. Это условие может иметь место в случае, если длина свободного пробега электрона $\lambda > r_m$. Принимая во внимание выводы теории [12], получили следующее выражение для оценки: $\lambda = \beta kT / 2eE^{1/2}$. Подставляя в выражения для r_m и λ значения $\beta = 0.02 \text{ см}^{1/2}/\text{В}^{1/2}$, $T = 160 \text{ К}$, $k = 0.86 \cdot 10^{-4} \text{ эВ/К}$, $e = 1.6 \times 10^{-19} \text{ Кл}$, $F = 10^4 \text{ В/см}$, получим $r_m = 2.25 \cdot 10^{-7} \text{ см}$ и $\lambda = 1.4 \cdot 10^{-6} \text{ см}$ для монокристалла $(\text{Ga}_2\text{S}_3)_{0.96}(\text{Eu}_2\text{O}_3)_{0.04}$. Таким образом, в монокристаллах $(\text{Ga}_2\text{S}_3)_{0.96}(\text{Eu}_2\text{O}_3)_{0.04}$ в электрических полях порядка 10^4 В/см выполняется условие снижения энергии активации ловушек E_t на величины $\sqrt{e^3 / \pi \epsilon \epsilon_0}$ и $\lambda > r_m$. Аналогичные данные получены и для других составов.

Список литературы

- [1] Соболев В. В. Зоны и экситоны халькогенидов галлия, индия и таллия. Кишинев, 1982. 272 с.
- [2] Тагиев О. Б., Касимова Г. А., Нахметов С. М. // Препринт № 273. Баку, 1988.
- [3] Зюганов А. Н., Свечников С. В. Инжекционно-контактные явления в полупроводниках. Киев, 1981. 255 с.
- [4] Зюганов А. Н., Свечников С. В. // Микроэлектроника. 1981. Т. 10. В. 2. С. 99–117.
- [5] Гусев М. Ю., Зюганов А. Н., Иванов А. М., Свечников С. В., Смертенко П. С. // Республиканский межведомственный сборник научных трудов «Оптоэлектроника и полупроводниковая техника». Киев, 1988. В. 14. С. 26–32.
- [6] Lampert M. A., Mark P. Current Injection in Solids. N. Y., 1970. 412 p.
- [7] Vesely J. C., Shatzkes M., Burkhardt P. J. // Phys. Rev. B. 1974. V. 10. N 2. P. 582–590.
- [8] Rizzo A., Micocci G., Terpore A. // J. Appl. Phys. 1977. V. 48. N 8. P. 3415–3424.
- [9] Frenkel I. I. // Phys. Rev. 1938. V. 54. P. 657–661.
- [10] Hill R. M. // Phil. Mag. 1971. V. 23. N 181. P. 59–86.
- [11] Hill R. M. // Phil. Mag. 1971. V. 24. N 192. P. 1307–1325.
- [12] Ляпидевский Н. Г., Ляпидевский В. К. // ФТТ. 1972. Т. 14. В. 5. С. 1337–1341.
- [13] Дякин В. В., Зюганов А. Н., Смертенко П. С., Хилимова Н. С. // Оптоэлектроника и полупроводниковая техника. Киев, 1987. № 11. С. 48–53.
- [14] Dussel G. A., Böer K. W. // Phys. St. Sol. 1970. V. 39. N 2. P. 375–389.
- [15] Губанов А. И. // ЖТФ. 1954. Т. 24. В. 1. С. 308–312.